

© 1991

## ОПИСАНИЕ ФЕРРОМАГНИТНЫХ СВОЙСТВ СИСТЕМЫ С $S=1$ С УЧЕТОМ НЕГЕЙЗЕНБЕРГОВСКОГО ИЗОТРОПНОГО ОБМЕНА

*В. М. Калита*

Описано влияние негейзенберговского изотропного обмена на ферромагнитные свойства системы с локализованными магнитными моментами  $s=1$ . Показано, что в основном состоянии возможны два типа магнитного порядка, определяемого величиной магнитного момента узла. Показано, что эффективный спин узла может зависеть от температуры и величины внешнего магнитного поля, в связи с чем при  $T \neq 0$  возможен фазовый переход второго рода из состояния, когда эффективный спин меньше единицы, в состояние, когда эффективный спин узла равен единице. В рамках данной модели возможно объяснение максимумов на кривых намагниченности в зависимости от температуры при различных значениях внешнего магнитного поля для соединений типа  $\text{Th}_x\text{U}_{1-x}\text{S}$ .

Описание изотропных магнетиков с локализованными магнитными моментами, обменное взаимодействие между которыми носит более сложный характер, чем гейзенберговский обмен, позволяет объяснить некоторые свойства магнетиков, которые в [1, 2] называют аномальными. К примеру: негейзенберговский обмен может привести к появлению неколлинеарной антиферромагнитной фазы [3], к появлению квадрупольной фазы [4], к изменению рода фазового перехода со 2-го на 1-й, к метамагнитному переходу в изотропной среде [3, 5].

Оценки вклада биквадратичного, трех-, четырехчастичного обмена очень сложны и для реальных объектов не позволяют что-либо утверждать о количественной или хотя бы о знаковой точности. Для некоторых модельных систем показано, что интегралы негейзенберговского обмена могут составлять десятки процентов от парного обмена, т. е. быть такого же порядка величинами, что и гейзенберговский обмен [1]. Это возможно, например, в модели прямого обмена между ионами с большим спином; в модели эффективного четырехспинового обмена, возникающего при учете взаимодействия магнитной подсистемы с решеткой; в модели обмена в системе с орбитально-вырожденным основным состоянием (с ян-теллеровскими ионами). В действительности, нелинейные эффекты могут быть определяющими, например, в теории изоструктурных фазовых переходов [6].

В настоящей работе построена модель изотропного одноподрешеточного магнетика для системы с локализованными магнитными моментами с  $s=1$  с учетом четырехспинового, трехспинового, биквадратичного обмена. На примере этой модели, в частности, изучается возможность эффекта обменного сокращения спина в основном состоянии и исследуется зависимость намагниченности от температуры и во внешнем поле.

### 1. Гамильтониан. Основное состояние

Гамильтониан системы с негейзенберговским обменом при учете взаимодействия ближайших соседей имеет вид

$$\hat{H} = \mathcal{J} \sum_{f, g} (\hat{s}_f \hat{s}_g) + B \sum_{fg} (\hat{s}_f \hat{s}_g)^2 + D \sum_{f, g, l} (\hat{s}_f \hat{s}_g) (\hat{s}_g \hat{s}_l) + \mathcal{K} \sum_{f, g, l, p} (\hat{s}_f \hat{s}_g) (\hat{s}_l \hat{s}_p), \quad (1)$$

где  $\mathcal{J}$ ,  $\mathcal{K}$ ,  $D$ ,  $B$  — интегралы гейзенберговского, четырехспинового, трехспинового и биквадратичного обмена;  $\mathcal{J}$ ,  $B < 0$ ; расстояния между узлами фиксированы, положения узлов задают векторы  $f$ ,  $g$ ,  $l$ ,  $p$ , причем они не могут совпадать друг с другом;  $\hat{s}_f$  — оператор спина на узле для момента  $s=1$ .

Имея в виду процедуру самосогласования, рассмотрим состояние  $|\psi_f\rangle$  отдельного спина в узле с номером  $f$  и определим для этого узла собственную систему координат [7], в которой справедливы равенства

$$\langle \psi_f | \hat{s}_{xf} \psi_f \rangle = \langle \psi_f | \hat{s}_{yf} \psi_f \rangle = \langle \psi_f | \frac{1}{2} (\hat{s}_{xf} \hat{s}_{yf} + \hat{s}_{yf} \hat{s}_{xf}) \psi_f \rangle = 0, \quad (2)$$

где  $x$ ,  $y$ ,  $z$  — оси в собственной для каждого узла системе координат. Тогда волновая функция  $|\psi_f\rangle$ , удовлетворяющая условиям (2), имеет вид

$$|\psi_f\rangle = \cos \alpha |1\rangle + \sin \alpha |-1\rangle. \quad (3)$$

При этом выполняются равенства

$$\langle \psi_f | \frac{1}{2} (\hat{s}_{xf} \hat{s}_{xf} + \hat{s}_{xf} \hat{s}_{xf}) \psi_f \rangle = \langle \psi_f | \frac{1}{2} (\hat{s}_{yf} \hat{s}_{yf} + \hat{s}_{yf} \hat{s}_{yf}) \psi_f \rangle = 0. \quad (4)$$

В приближении среднего поля для ферромагнетика все состояния узлов эквивалентны; следовательно, предположив, что магнитный момент системы не равен нулю, получаем: собственная система координат каждого узла ориентирована вдоль вектора суммарной намагниченности  $M$ . Пусть  $M$  направлено вдоль оси  $z$ . Тогда энергию системы, приходящуюся на одну частицу в приближении среднего поля, можно записать в виде

$$e/N = \left( \mathcal{J} - \frac{1}{2} B \right) \bar{s}_z + D \bar{s}_z^2 \bar{Q}_{zz} + B (\bar{Q}_{xx}^2 + \bar{Q}_{yy}^2 + \bar{Q}_{zz}^2) + \mathcal{K} \bar{s}_z^4, \quad (5)$$

где  $\bar{s}_z$ ,  $\bar{Q}_{zz}$ ,  $\bar{Q}_{xx}$ ,  $\bar{Q}_{yy}$  — средние значения операторов  $\hat{s}_z$ ,  $\hat{s}_z^2$ ,  $\hat{s}_x^2$ ,  $\hat{s}_y^2$ ;  $N$  — число узлов. С учетом (3) средние значения  $\bar{s}_z$ ,  $\bar{Q}_{zz}$ ,  $\bar{Q}_{xx}$ ,  $\bar{Q}_{yy}$  выражаются через параметр  $\alpha$ . Тогда энергию (5) можно переписать в виде

$$e/N = (\mathcal{J} + D - B) \cos^2 2\alpha + \mathcal{K} \cos^4 2\alpha + 2B. \quad (6)$$

Параметр  $\alpha$  определим из условия минимальности энергии основного состояния

$$\frac{1}{N} \frac{\partial e}{\partial \alpha} = -4(\mathcal{J} + D - B + 2\mathcal{K} \cos^2 2\alpha) \cos 2\alpha \sin 2\alpha = 0. \quad (7)$$

Уравнение (7) имеет три типа решений разной симметрии

$$\sin 2\alpha = 0, \quad \cos^2 2\alpha = -\frac{\mathcal{J} + D - B}{2\mathcal{K}}, \quad \cos 2\alpha = 0.$$

Эти решения получены в одноподрешеточном приближении, т. е. в этом случае не рассматриваются возможные для системы (1) многоподрешеточные или неоднородные состояния.

Первое решение соответствует условию  $\bar{s}_z = 1$ , возможно, когда  $\mathcal{J} + D - B + \mathcal{K} < -(\mathcal{J} + D - B)^2 / 4\mathcal{K}$ ,  $\mathcal{J} + D - B + \mathcal{K} < 0$ . В этом состоянии для компонент квадрупольного момента выполняется соотношение  $\bar{Q}_{xx} = \bar{Q}_{yy}$ . Второе решение  $\hat{s}_z = \pm \sqrt{-(\mathcal{J} + D - B) / 2\mathcal{K}}$  возможно, когда  $0 < -(\mathcal{J} + D - B) / 2\mathcal{K} < 1$ ,  $-(\mathcal{J} + D - B)^2 / 4\mathcal{K} < 0$ ,  $-(\mathcal{J} + D - B)^2 / 4\mathcal{K} < \mathcal{J} + D - B + \mathcal{K}$ . В этом состоянии для компонент квадрупольного момента выполняется неравенство  $\bar{Q}_{xx} \neq \bar{Q}_{yy}$ . Следует заметить, что в методе

самосогласованного поля это решение существует только при условии  $B \neq 0$  (см. Приложение). Третье решение не является магнитоупорядоченным, магнитный момент узла равен нулю. Возможно, когда  $B < 0$  и  $\mathcal{J} + D - B + \mathcal{K} > 0$ ,  $-(\mathcal{J} + D - B)^2 / 4\mathcal{K} > 0$ . Это состояние отличается от состояния с волновой функцией  $|\psi_2\rangle = |0\rangle$  лишь значениями компонент квадрупольного момента. Так, в состоянии  $1/\sqrt{2} \cdot (|1\rangle + |-1\rangle)$  компоненты квадрупольного момента имеют значения  $\bar{Q}_{zz} = 1$ ,  $\bar{Q}_{xx} = 1$ ,  $\bar{Q}_{yy} = 0$ , а в состоянии  $|\psi_2\rangle = |0\rangle$  соответствующие значения компонент равны  $\bar{Q}_{zz} = 0$ ,  $\bar{Q}_{xx} = 1$ ,  $\bar{Q}_{yy} = 1$ . Значения энергии этих состояний, вычисленных по формуле (3), равны, откуда следует, что эти состояния в обменном приближении являются доменами.

Таким образом, в обменном приближении для основного состояния возможны два вида магнитоупорядоченных решений, когда эффективный спин узла имеет максимально возможное значение  $\bar{s}_z = 1$  и когда эффективный спин узла меньше единицы и функционально определяется интегралами обмена.

## 2. С в о б о д н а я   э н е р г и я

Описание системы при  $T \neq 0$  предполагает определение всех возможных микроскопических состояний. В методе самосогласованного поля состояние системы определяется в одноузельном приближении. Тогда, имея в виду процедуру самосогласования аналогично случаю  $T = 0$ , введем собственную систему координат узла, в которой волновые функции узла имеют вид

$$\begin{aligned} |\psi_{1f}\rangle &= \cos \alpha |1\rangle + \sin \alpha |-1\rangle, \\ |\psi_{2f}\rangle &= -\sin \alpha \sin \delta e^{i\gamma} |1\rangle + \cos \delta |0\rangle + \sin \delta \cos \alpha e^{i\gamma} |-1\rangle, \\ |\psi_{3f}\rangle &= -\sin \alpha \cos \delta |1\rangle - \sin \delta e^{-i\gamma} |0\rangle + \cos \alpha \cos \delta |-1\rangle, \end{aligned} \quad (8)$$

а функция  $|\psi_{1f}\rangle$  удовлетворяет условиям (2).

Однако термодинамические средние от операторов, соответствующие условиям (2), в собственной системе координат не обращаются в нуль.

В дальнейшем будут описаны термодинамические свойства системы (1) в приближении самосогласованного поля [8] при следующих симметричных ограничениях для термодинамических средних: равенство нулю  $x$ ,  $y$ -компонент намагниченности системы и равенство нулю недиагональных компонент квадрупольного момента системы. В этом случае собственная система координат совпадает с кристаллографической и волновые функции узла имеют вид

$$\begin{aligned} |\psi_{1f}\rangle &= \cos \alpha |1\rangle + \sin \alpha |-1\rangle, \\ |\psi_{2f}\rangle &= |0\rangle, \\ |\psi_{3f}\rangle &= -\sin \alpha |1\rangle + \cos \alpha |-1\rangle. \end{aligned} \quad (9)$$

Из эквивалентности узлов в методе самосогласованного поля следует, что равны намагниченности и квадрупольные моменты каждого из узлов и они соответственно равны средней намагниченности и средним компонентам квадрупольного момента системы в расчете на один узел. В силу этого энергия взаимодействия, соответствующая (1), запишется в виде

$$E/N = \left(\mathcal{J} - \frac{1}{2}B\right) M_z^2 + DM_z^2 d_z + B(d_x^2 + d_y^2 + d_z^2) + \mathcal{K} M_x^4, \quad (10)$$

где

$$M_z = \frac{1}{N} \sum_f \bar{s}_{zf}, \quad d_z = \frac{1}{N} \sum_f \bar{Q}_{zzf}, \quad d_x = \frac{1}{N} \sum_f \bar{Q}_{xxf}, \quad d_y = \frac{1}{N} \sum_f \bar{Q}_{yyf}, \quad (11)$$

а  $\bar{s}_{zf}$ ,  $\bar{Q}_{zzf}$ ,  $\bar{Q}_{xxf}$ ,  $\bar{Q}_{yyf}$  — значения спина и компонент квадрупольного момента на узле, вычисляемые в базисе волновых функций (9). Например,

значения спина на узле могут быть равны  $\cos 2\alpha$ , 0,  $-\cos 2\alpha$ . Конфигурационная энтропия системы соответственно записывается в виде

$$\sigma = \ln \frac{N!}{\prod_k N_k!} \approx N \ln N - \sum_k N_k \ln N_k = N \ln N - N_1 \ln N_1 - N_2 \ln N_2 - N_3 \ln N_3, \quad (12)$$

где  $N_k$  — число узлов, находящихся в одном из состояний (9).

Тогда макроскопические характеристики системы (11) примут следующий вид:

$$M_z = \frac{1}{N} (N_1 \cos 2\alpha - N_3 \cos 2\alpha) = x \cos 2\alpha, \quad d_z = \frac{1}{N} (N_1 + N_3), \quad (13)$$

$$d_x = 1 - \frac{1}{2} d_z + \frac{1}{2} x \sin 2\alpha, \quad d_y = 1 - \frac{1}{2} d_z - \frac{1}{2} x \sin 2\alpha. \quad (14)$$

Как видим из (13), (14), в приближении среднего поля термодинамические средние  $d_x$ ,  $d_y$  зависят от  $M_z$  и  $d_z$ .

Дополнив систему (13) условием  $N = N_1 + N_2 + N_3$  и выразив  $N_1$ ,  $N_2$ ,  $N_3$  через  $x$  и  $d_z$ , запишем энтропию как функцию от неравновесных  $d_z$  и  $x$

$$\sigma = - \left[ \frac{1}{2} (d_z + x) \ln \frac{1}{2} (d_z + x) + \frac{1}{2} (d_z - x) \ln \frac{1}{2} (d_z - x) + (1 - d_z) \ln (1 - d_z) \right]. \quad (15)$$

Окончательно получаем для принятой модели следующий вид свободной энергии как функции неравновесных параметров  $x$ ,  $d_z$ ,  $\alpha$ :

$$F = (\mathcal{J} - B) x^2 \cos^2 2\alpha + D x^2 \cos^2 2\alpha d_z + B \left( d_z^2 + 2 \left( 1 - \frac{1}{2} d_z \right)^2 \right) + \\ + \mathcal{K} x^4 \cos^4 2\alpha + \frac{1}{2} B x^2 + \frac{1}{\beta} \left[ \frac{1}{2} (d_z + x) \ln \frac{1}{2} (d_z + x) + \right. \\ \left. + \frac{1}{2} (d_z - x) \ln \frac{1}{2} (d_z - x) + (1 - d_z) \ln (1 - d_z) \right]. \quad (16)$$

### 3. Уравнения состояния

Минимизируя потенциал (16) по  $\alpha$ ,  $x$ ,  $d_z$ , находим систему уравнений, определяющих равновесные макроскопические характеристики

$$\frac{\partial F}{\partial x} = 2(\mathcal{J} - B) x \cos^2 2\alpha + 2D d_z x \cos^2 2\alpha + 4\mathcal{K} x^3 \cos^4 2\alpha + Bx + \\ + \frac{1}{2\beta} \ln \frac{d_z + x}{d_z - x} = 0, \quad (17a)$$

$$\frac{\partial F}{\partial d_z} = D x^2 \cos^2 2\alpha + 3B \left( d_z - \frac{2}{3} \right) + \frac{1}{2\beta} \ln \frac{(d_z - x)(d_z + x)}{4(1 - d_z)^2} = 0, \quad (17b)$$

$$\frac{\partial F}{\partial \alpha} = -4(\mathcal{J} - B + D d_z + 2\mathcal{K} x^2 \cos^2 2\alpha) x^2 \cos 2\alpha \sin 2\alpha = 0. \quad (17b)$$

Полностью неупорядоченное состояние — парамагнитная фаза — соответствует решениям вида  $x=0$ ,  $d_z=2/3$ .

Как и при  $T=0$ , существуют три вида решений, определяемых параметром  $\alpha$ .

I)  $\cos 2\alpha=0$ , эффективный спин узла равен нулю, соответственно равна нулю и намагниченность системы. Узел характеризуется только квадрупольным моментом, поэтому для системы возможно лишь квадрупольное упорядочение, определяемое уравнениями

$$Bx + \frac{1}{2\beta} \ln \frac{d_x + x}{d_x - x} = 0,$$

$$3B \left( d_x - \frac{2}{3} \right) + \frac{1}{2\beta} \ln \frac{(d_x - x)(d_x + x)}{4(1 - d_x)^2} = 0. \quad (18)$$

Такое квадрупольное состояние обозначим как КФІ. Здесь, как и при  $T=0$ ,  $B < 0$ . В этом случае для системы возможен только фазовый переход КФІ—парафаза, который протекает вторым родом при  $T_{\text{КФІ}} = (-2/3)B$ . Для компонент квадрупольного момента системы выполняется соотношение  $d_x \neq d_y \neq d_z$ .

II)  $\cos 2\alpha = 1$ , узел характеризуется максимально возможным значением спина, для компонент квадрупольного момента узла выполняется соотношение  $\bar{Q}_{xx} = \bar{Q}_{yy}$ . Намагниченность системы равна  $M_x = x$ , и для компонент квадрупольного момента системы выполняется равенство  $d_x = d_y = 1 - (1/2)d_z$ . Система (17) принимает вид

$$2 \left( \mathcal{J} - \frac{1}{2} B \right) M_x + 2DM_x d_x + 4\mathcal{K} M_x^3 + \frac{1}{2\beta} \ln \frac{d_x + M_x}{d_x - M_x} = 0,$$

$$DM_x^2 + 3B \left( d_x - \frac{2}{3} \right) + \frac{1}{2\beta} \ln \frac{(d_x - M_x)(d_x + M_x)}{4(1 - d_x)^2} = 0 \quad (19)$$

и допускает два вида решений: а)  $M_x = 0$ ,  $d_x \neq 2/3$  (в отличие от состояния КФІ является статистической квадрупольной фазой, которую обозначим КФ II) возможно, когда  $\mathcal{J} + 2/3D > B$ ,  $B < 0$ ; б)  $M_x \neq 0$ ,  $d_x \neq 2/3$ , магнитоупорядоченное решение с отличной от нуля намагниченностью системы.

III)  $\cos 2\alpha \neq 0$ ,  $\sin 2\alpha \neq 0$ . В этом случае величина спина узла меньше единицы и для компонент квадрупольного момента узла выполняется соотношение  $\bar{Q}_{xx} \neq \bar{Q}_{yy}$ . Намагниченность системы определяется из выражения

$$M_x = \pm \sqrt{-\frac{\mathcal{J} + Dd_x - B}{2\mathcal{K}}}. \quad (20)$$

При  $D > 0$  величина намагниченности с ростом температуры возрастает, т. е.  $M_x(T)$  имеет точку максимальной намагниченности при  $T \neq 0$ . Решение определяется уравнениями

$$Bx + \frac{1}{2\beta} \ln \frac{d_x + x}{d_x - x} = 0,$$

$$-\left( 2B + \frac{\mathcal{J} - B}{2\mathcal{K}} D \right) + \left( 3B - \frac{D^2}{2\mathcal{K}} \right) d_x + \frac{1}{2\beta} \ln \frac{(d_x - x)(d_x + x)}{4(1 - d_x)^2} = 0,$$

$$\cos^2 2\alpha = -\frac{\mathcal{J} + Dd_x - B}{2\mathcal{K}x^2}. \quad (21)$$

Эффективный спин узла зависит от конфигурации, т. е. определяется  $x$  и  $d_x$

$$s_x = \frac{1}{x} \sqrt{-\frac{\mathcal{J} + Dd_x - B}{2\mathcal{K}}}. \quad (22)$$

Таким образом, величина эффективного спина узла зависит от температуры.

Максимальная температура, когда решение III возможно, определяется из системы уравнений (21) при условии, что  $\cos 2\alpha = 1$ . Эта температура  $T_{\text{пр}}$  является предельной, начиная с которой решение III переходит в решение II, а эффективный спин узла принимает значение, равное единице. Этот переход в модели является фазовым переходом 2-го рода.

Ненулевое внешнее магнитное поле приводит к необходимости учета в гамильтониане зеемановского оператора  $H_z \sum_f \hat{s}_{zf}$ , а в свободной энергии члена  $H_z x \cos 2\alpha$ . В этом случае при  $T=0$  основное состояние системы определяется уравнением

$$\frac{1}{N} \frac{\partial e}{\partial \alpha} = -2(2(\mathcal{J} + D - B) \cos 2\alpha + 4\mathcal{K} \cos^3 2\alpha - H_z) \sin 2\alpha = 0. \quad (23)$$

Это уравнение имеет только два типа решений  $\sin 2\alpha=0$ : спин на узле равен 1 и  $\sin 2\alpha \neq 0$ ; в этом случае спин на узле меньше 1 и его величина зависит от внешнего магнитного поля. Критическое поле, когда второе решение переходит в первое, равно  $H_k = 2(\mathcal{J} + D - B) + 4\mathcal{K}$ . Продольная восприимчивость для первого решения равна 0, тогда как продольная восприимчивость второго решения при  $H_z \rightarrow 0$

$$\chi_{H_z \rightarrow 0}^{-1} = -2(\mathcal{J} + D - B). \quad (24)$$

Учет внешнего магнитного поля при решении уравнения состояния для  $T \neq 0$  приводит к тому, что  $T_{np}$  является функцией от поля, так как уравнение (17в) имеет следующий вид:

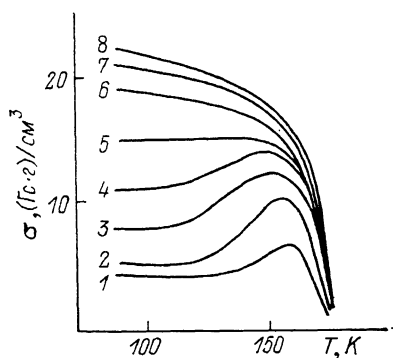
$$2[-2(\mathcal{J} - B + Dd_x + 2\mathcal{K}x^2 \cos^2 2\alpha)x \cos 2\alpha + H_z]x \sin 2\alpha = 0. \quad (25)$$

Для слабых полей, когда  $H_z$  мало, а  $x$  и  $d_x$  порядка 1, эффективный спин линейно зависит от поля

$$s_z = \sqrt{\frac{\mathcal{J} + Dd_x - B}{2\mathcal{K}x^2}} - \frac{H_z}{4(\mathcal{J} + Dd_x - B)x}. \quad (26)$$

Таким образом,  $T_{np}$  с ростом поля уменьшается (в слабых полях линейно по  $H_z$ ) и по достижении полем критической  $H_k$  возможно только состояние, для которого эффективный спин узла максимален и равен единице.

Таким образом, в случае сильного негейзенберговского обмена упорядоченное состояние определяется магнитным и квадрупольными моментами. При  $T=0$  система имеет следующие магнитоупорядоченные состояния: спин узла равен  $\bar{s}_z = \cos 2\alpha = 1$ , а квадрупольные моменты  $\bar{Q}_{xx}, \bar{Q}_{yy}$  равны или спин узла меньше единицы  $\bar{s}_z = \cos 2\alpha < 1$ , а  $\bar{Q}_{xx} \neq \bar{Q}_{yy}$ . Во втором случае магнитный момент узла зависит от обменных констант и внешнего магнитного поля. При этом продольная восприимчивость не равна нулю и при  $T=0$ . Фазовый переход из состояния  $\bar{Q}_{xx} = \bar{Q}_{yy}$  в состояние  $\bar{Q}_{xx} \neq \bar{Q}_{yy}$  является переходом второго рода. При  $T \neq 0$  возможны два магнитоупорядоченных состояния:  $d_x = d_y$ , система ведет себя как обычный магнетик;  $d_x \neq d_y$ . В последнем случае при  $D > 0$  намагниченность как функция температуры имеет максимум при  $T \neq 0$ . Переход из состояния  $d_x = d_y$  в состояние  $d_x \neq d_y$  может осуществляться как при изменении температуры, так и под влиянием внешнего магнитного поля. Согласно принятой модели, такой переход протекает как переход второго рода. При этом зависимость намагниченности от внешнего магнитного поля в состоянии  $d_x = d_y$  качественно отличается от зависимости  $M(H)$  в состоянии  $d_x \neq d_y$ .



Зависимость намагниченности от температуры для сплава  $\text{Th}_{0.1}\text{U}_{0.9}\text{S}$ .  
1 — 0.6, 2 — 1.2, 7 — 2.0, 4 — 2.4, 5 — 3.0, 6 — 4.0, 7 — 6.0, 8 — 7.0 кЭ.

В рамках данной модели [9] находит объяснение зависимость намагниченности от температуры при различных значениях внешнего магнитного поля, которое наблюдается в актинидах и их соединениях. Так, типичные кривые зависимости  $M(T)$  и  $M(H)$  для  $\text{Th}_x\text{U}_{1-x}\text{S}$  приведены на рисунке, взятом из [10]. Зависимость  $M(T)$ , имеющая максимум, характерна также и для лантанидов. Обычно такое поведение объясняют гистерезисными явлениями и разбиением кристалла на домены при низких температурах. Однако при такой интерпретации трудно объяснить обратимость процесса разбиения на домены в веществах с гигантской магнитоотрицательностью. Известно, что даже при относительно малой стрикции в  $\text{CoF}_2$  при фазовом переходе наблюдается растрескивание материала. Предлагаемое объяснение этой зависимости оставляет возможность для понимания природы обратимости процессов намагничивания, так как максимумы на кривых зависимости  $M(T)$  имеют обменную природу и возможны при сильном негейзенберговском изотропном обмене.

## П Р И Л О Ж Е Н И Е

Одноузельный гамильтониан  $f$ -го узла в методе самосогласованного поля имеет вид

$$\hat{H}_f = \mathbf{h}\hat{s}_f + \sum_{ij} N_{ij}\hat{Q}_{ijf}, \quad (27)$$

где  $i, j = x, y, z$ ;  $\mathbf{h}$  — магнитное поле;  $N_{ij}$  — компоненты квадрупольного поля, действующие на квадрупольный момент узла, компоненты которого определяются выражением  $\hat{Q}_{ij} = 1/2(\hat{s}_i\hat{s}_j + \hat{s}_j\hat{s}_i)$ . С учетом выполнения условий (2) и (3), т. е. предположив, что магнитный момент системы направлен вдоль оси  $z$  и равен нулю, недиагональные компоненты квадрупольного момента системы, гамильтониан (27) можно записать в виде

$$\hat{H}_f = h_z\hat{s}_{zf} + N_{zz}\hat{s}_{zf}^2 + N_{xx}\hat{s}_{xf}^2 + N_{yy}\hat{s}_{yf}^2, \quad (28)$$

где

$$h_z = 2\left(\mathcal{J} - \frac{1}{2}B\right)\bar{s}_z + 4\mathcal{K}\bar{s}_z^3 + 2D\bar{Q}_{zz}\bar{s}_z, \quad N_{xx} = 2B\bar{Q}_{xx}, \\ N_{zz} = 2B\bar{Q}_{zz} + D\bar{s}_z^2, \quad N_{yy} = 2B\bar{Q}_{yy},$$

т. е. эффективные поля, действующие на узел, зависят от средних значений  $z$ -компоненты магнитного момента и диагональных компонент квадрупольного момента. Решая задачу на собственные значения, находим, что собственные волновые функции оператора (28) имеют вид (9) и собственные значения энергии равны

$$\epsilon_{\pm} = N_{zz} + \frac{1}{2}(N_{xx} + N_{yy}) \pm \sqrt{h_z^2 + \frac{1}{4}(N_{xx} - N_{yy})^2}, \\ \epsilon_0 = -(N_{xx} + N_{yy}). \quad (29)$$

Уравнения самосогласования для магнитоупорядоченного состояния можно записать в виде

$$\bar{s}_z = -\partial\epsilon_-/\partial h_z = h_z/\sqrt{h_z^2 + \frac{1}{4}(N_{xx} - N_{yy})^2}. \quad (30)$$

Решения этого уравнения совпадают с решениями уравнения (6). В случае, когда  $B=0$ , уравнение (30) имеет только одно решение  $\bar{s}_z=1$ .

## С п и с о к л и т е р а т у р ы

- [1] Нагаев Э. Л. Магнетики со сложными обменными взаимодействиями. М.: Наука, 1988. 232 с.  
 [2] Нагаев Э. Л. // УФН. 1982. Т. 136. № 1. С. 61—100.

- [3] Матвеев В. М., Нагаев Э. Л. // ФТТ. 1972. Т. 14. № 2. С. 492—501.
- [4] Матвеев В. М. // ЖЭТФ. 1973. Т. 65. № 4. С. 1626—1632.
- [5] Гуфан Ю. М., Калита В. М. // ФТГ. 1987. Т. 29. № 11. С. 3302—3307.
- [6] Гуфан Ю. М., Ларин Е. С. // ДАН СССР. 1978. Т. 242. № 6. С. 1311—1313.
- [7] Островский В. С. // ЖЭТФ. 1986. Т. 91. № 5. С. 1690—1701.
- [8] Браут Р. Фазовые переходы. М.: Мир, 1967. 288 с.
- [9] Калита В. М. // Тез. докл. II Всес. семинара «Магнитные фазовые переходы и критические явления». Махачкала, 1988. С. 216.
- [10] Чачхиани Э. В., Чечерников В. И., Чачхиани Л. Г. Магнетизм сплавов и соединений тория. Тбилиси, 1986. С. 305.

Ростовский-на-Дону  
государственный педагогический институт

Поступило в Редакцию  
3 мая 1990 г.  
В окончательной редакции  
10 сентября 1990 г.